

Министерство высшего и среднего специального образования
Р С Ф С Р

Волгоградский орден Трудового Красного Знамени политехнический
институт

Кафедра оборудования и технологии сварочного
производства

РАСЧЕТ РЕЖИМОВ ДУГОВОЙ СВАРКИ

Методические указания к курсовому и дипломному проектированию
для студентов специальности 0504 - Оборудование и технология
сварочного производства

План уч.-метод.документ. 1987 г., поз.106.

Составитель Е.П.Покатеев

Расчет режимов дуговой сварки

Методические указания к курсовому и дипломному
проектированию

Волгоград 1987

Редактор Л.Н.Голованова

Подписано в печать 7.4.87 формат 60x84/16.
Бумага газетная. Печать плоская. Усл.-печ.л.2,0.
Усл.-изд.л.1,9. т.500 экз. Заказ №1 Бесплатно.
Межвузовский ротапринтный участок ВолГПИ.
Волгоград, ул.Советская,35.

УДК 621.791.7 (075.8)

Расчет режимов дуговой сварки: Метод.указания к курсовому и дипломному проектированию / Сост. Е.П.Покатэев.- Волгоград: ВолгПИ, 1987. - 47 с.

В работе приведены методы расчета режимов ручной дуговой и механизированной сварки стыковых и угловых соединений из низкоуглеродистых, низколегированных, закаливающихся и высоколегированных сталей, а также механических свойств металла шва.

Для студентов специальности 0504 "Оборудование и технология сварочного производства" (дневной и вечерней форм обучения), выполняющих курсовой проект по "Технологии, механизации и автоматизации сварочного производства" и дипломный проект.

Ил.10. Табл. 15.

СОДЕРЖАНИЕ

	стр.
Введение	4
1. Расчет режимов и размеров шва при ручной дуговой сварке покрытыми электродами	6
2. Расчет режимов и размеров шва при механизированной дуговой сварке	15
2.1. Расчет режимов сварки и размеров односторонних и двусторонних стыковых швов без разделки кромок и без зазора в стыке	15
2.2. Расчет режимов сварки и размеров шва стыковых соединений с зазором и разделкой кромок	21
2.3. Расчет режимов сварки и размеров многопроходных швов стыковых соединений с разделкой кромок	22
2.4. Расчет режима сварки и размеров шва тавровых и угловых соединений	25
3. Расчет режимов дуговой сварки низкоуглеродистых и низколегированных сталей	29
3.1. Выбор критерии для расчетного определения режимов сварки	29
3.2. Последовательность расчета режима сварки	31
4. Расчет режимов дуговой сварки закаливающихся сталей	34
4.1. Критерии расчетного определения режимов сварки	34
4.2. Последовательность расчета режима сварки	35
5. Расчет режимов дуговой сварки высоколегированных austenитных сталей	38
6. Расчетная оценка ожидаемых механических свойств металла шва	40
6.1. Расчет механических свойств металла шва при сварке низкоуглеродистых сталей	40
6.2. Расчет механических свойств металла шва при сварке легированных сталей	41

В В Е Д Е Н И Е

Режим сварки является основным элементом технологического процесса сварки той или иной конструкции либо изделия. От правильного выбора его в значительной мере зависит качество сварного соединения, производительность и экономическая эффективность технологического процесса сварки в целом.

В практике наиболее широко выбор параметров режима сварки производят по различным таблицам и nomogrammam, построенным на основании большого числа экспериментов. Однако nomogrammam и таблицы не содержат информации о таких важных и необходимых для технолога сведениях, как: размеры и формы шва, доля участия основного металла в формировании шва, температура и скорость охлаждения металла шва и ОШЗ, длительность его выдержки в опасном интервале температур химический состав металла шва, механические свойства металла шва и т.д. Только наличие указанных сведений позволяет из нескольких вариантов выбрать оптимальный, обеспечивающий не только отсутствие дефектов, но и наиболее благоприятные прочностные и эксплуатационные свойства при наибольшей производительности и экономичности. Выбор оптимальных режимов сварки должен базироваться на сравнении указанных количественных показателей нескольких вариантов, а это наиболее просто и объективно можно сделать расчетным путем. Поэтому овладение расчетными методами определения режима сварки, размеров и формы шва, скорости охлаждения металла шва и ОШЗ, длительности выдержки металла шва в опасном интервале температур и т.д. является важной задачей для инженера-сварщика.

Расчет режима сварки производят в два этапа. На первом рассчитывают параметры режима сварки, исходя из условий получения швов с оптимальными размерами и формой, обеспечивающими как высокую технологическую прочность, так и высокие эксплуатационные характеристики, т.е. хорошее формирование шва (разделы I и 2 настоящих методических указаний). На втором этапе расчета уточняют полученные на первом этапе параметры режима сварки, исходя из получения такого термического цикла, который обеспечит оптимальные свойства ЭТВ и металла шва (разделы 3, 4, 5 настоящих методических указаний). При этом необходимо, чтобы новый режим сварки обеспечивал и нормальное формирование шва.

Расчет механических свойств металла шва приведен для низкоуглеродистых и легированных сталей.

Методика расчета, изложенная в методических указаниях, применима для расчета режимов дуговой сварки покрытыми электродами, под флюсом и в защитных газах.

Методические указания составлены в основном по результатам работ академика И.Н.Рыкалина, профессоров А.И.Акулова, Г.А.Бельчука, В.Л.Демянцевича, М.Х.Шоршорова и предназначены для разработки технологического процесса сварки в курсе "Технология и оборудование сварки плавлением и термической резки" и для выполнения расчетной части курсового и дипломного проектов.

I. РАСЧЕТ РЕЖИМОВ И РАЗМЕРОВ ШВА ПРИ РУЧНОЙ ДУГОВОЙ СВАРКЕ ПОКРЫТИМИ ЭЛЕКТРОДАМИ

При ручной дуговой сварке покрытыми электродами основными параметрами режима сварки являются диаметр электрода, сила сварочного тока, напряжение дуги, род тока, полярность, скорость сварки, площадь поперечного сечения шва, выполняемого за один проход, число проходов и др.

Поскольку марку электрода выбирают, исходя из свойств основного металла, то такие параметры режима сварки, как род тока, полярность, коэффициент наплавки устанавливают по паспортным данным электрода.

I.1. Выбор диаметра электрода

Диаметр электрода d_3 назначают в зависимости от толщины листов при сварке швов стыковых соединений и от катета шва при сварке швов угловых и тавровых соединений (табл. I.1.)

Таблица I.1.

Диаметр электрода в зависимости от толщины листов и катета шва

Вид шва	Толщина листов или катет шва, мм	Диаметр электрода, мм
I. Стыковой	1,5 - 2,0	1,6 - 2,0
	3,0	3,0
	4,0 - 8,0	4,0
	9,0 - 12,0	4,0 - 5,0
	13,0 - 15,0	5,0
	15 и более	5,0 - 10,0
2. Угловой	3,0	3,0
	4,0 - 5,0	4,0
	6,0 - 9,0	5,0

При сварке многопроходных швов стремятся все проходы выполнять на одних и тех же режимах. Исключением является первый проход,

который обычно выполняется электродами диаметром 3-4 мм, так как применение электродов большего диаметра затрудняет провар корня шва.

В табл. I.1 диаметры электрода приведены для сварки в нижнем положении. В потолочном и горизонтальном положениях пользуются электродами диаметром не более 4 мм, а в вертикальном - не более 5 мм.

I.2. Определение сварочного тока

Расчет силы сварочного тока при сварке покрытыми электродами производится в зависимости от диаметра электрода и допустимой плотности тока

$$I_{ca} = \frac{\pi d_3^2}{4} j . \quad (I.1)$$

где d_3 - диаметр электрода (стержня)мм;
 j - допустимая плотность тока, А/мм² (табл. I.2).

Таблица I.2

Допустимая плотность тока j в электроде при ручной дуговой сварке покрытыми электродами

Вид покрытия	j , А/мм ² в электроде при d_3 , мм			
	3	4	5	6
1. Кислотное(А) и рутиловое(Р)	14-20	11,5-16	10 - 13,5	9,5-12,5
2. Основное (Б)	13 - 18,5	10 - 14,5	9 - 12,5	8,5-12,0
3. Целлюлозное(Ц)	12,7-16,9	9,6-13,6	8,2-9,7	-

Чем больше диаметр электрода, тем меньше допустимая плотность тока, так как ухудшаются условия охлаждения.

При приближенных расчетах сварочный ток определяют по эмпирической формуле

$$I_{ca} = kd_3 , \quad (I.2)$$

где K - коэффициент, принимаемый в зависимости от диаметра стержня электрода (табл. I.3).

Таблица I.3

Значения коэффициента "K" в зависимости от диаметра стержня электрода

Диаметр стержня электрода d_e , мм	2	3	4	5	6
Коэффициент K , А/мм	25-30	30-45	35/50	40-55	45-60

При сварке в положениях, отличных от нижнего, с целью улучшения формирования шва сварочным током уменьшают по сравнению с расчетными по формулам (I.1 и I.2) на 10-20 %.

I.3. Напряжение на дуге (U_d)

Напряжение на дуге при ручной дуговой сварке, покрытыми электродами составляет как правило 20 - 36 В и при проектировании технологических процессов сварки выбирается из основания рекомендаций паспорта на данную марку электрода.

I.4. Площадь поперечного сечения шва, наплавляемая за один проход

Следует иметь ввиду, что:

1) максимальное поперечное сечение первого прохода в многослойных швах не должно превышать $30 - 35 \text{ мм}^2$, а последующих проходов - $30 - 40 \text{ мм}^2$;

2) при сварке угловых и тавровых соединений за один проход выполняются швы катетом не более 8 - 9 мм. При необходимости выполнения шва с большим катетом применяется сварка за два прохода и более.

При сварке швов стыковых соединений площадь поперечного сечения металла, наплавленного за один проход, при которой обеспечиваются оптимальные условия формирования, составляет (мм^2): для первого прохода (при подварке корня шва)

$$F_1 = (6 + 8) d_e ; \quad (I.3)$$

для последующих проходов

$$F_n \quad F_n = (8 + 12) d_e . \quad (I.4)$$

I.5. Определение числа проходов

Общая площадь наплавленного металла F_H при сварке угловых и тавровых соединений вычисляется по формуле:

$$F_H = \frac{K_y \cdot K^2}{2} , \quad (I.5)$$

где K - катет шва, мм;

K_y - коэффициент увеличения, учитывающий наличие зазора и выпуклость (усиление) шва (табл. I.4).

Таблица I.4
Зависимость коэффициента увеличения K_y от
катета шва

Катет мм	, К	3-4	5-6	7-10	12-20	20-30	30
Коэффициент K_y		1,5	1,35	1,25	1,15	1,10	1,05

При сварке стыковых соединений с разделкой кромок общая площадь поперечного сечения наплавленного металла равна (рис. I.1):

$$F_H = 2F' + F'' + F''' ,$$

или

$$F_H = h^2 \operatorname{tg} \frac{\alpha}{2} + 8S + \frac{2}{3} g e . \quad (I.6)$$

Число проходов равно: при сварке угловых и тавровых соединений

$$n = F_H / F_n , \quad (I.7)$$

где F_n и F_1 - определяются соответственно по формулам (I.5) и (I.4),

при сварке стыковых соединений

$$n = \frac{F_n - F_1}{F_n} + 1, \quad (I.8)$$

где F_n , F_1 , F_n - определяются соответственно по формулам (I.6, I.3, I.4).

I.6. Скорость сварки

Скорость ручной дуговой сварки обычно задается и контролируется косвенно по необходимым размерам получаемого шва и может быть определена по формуле (см/с):

$$V_{cb} = \frac{\alpha_n \cdot I_{cb}}{3600 \cdot \gamma \cdot F'_n}, \quad (I.9)$$

где α_n - коэффициент наплавки, г/а.ч.;

F'_n - площадь поперечного сечения наплавленного металла за данный проход, см²;

γ - плотность наплавленного металла, г/см³.

I.7. Погонная энергия q_n (кал/см.)

$$q_n = \frac{0,24 I_{cb} \cdot U_g \cdot \eta_u}{V_{cb}}, \quad (I.10)$$

где η_u - 0,70 - 0,85 - эффективный к.п.д. дуги.

При приближенных расчетах величины погонной энергии можно пользоваться формулой (кал/см.):

$$q_n = 14500 F_n, \quad (I.11)$$

где F_n - площадь поперечного сечения металла, наплавленного за данный проход, см².

I.8. Глубина провара

Необходимость определения глубины провара H при ручной дуговой сварке может возникнуть только для стыковых соединений без разделки кромок, дипазон толщин которых согласно ГОСТ 5264-80 ограничен, либо при ручной предварительной подварке корня шва. При необходимости глубина провара H при наплавке валика из листов из низкоуглеродистых или низкоуглеродистых низколегированных конструкционных сталей с достаточной для практических целей степенью точности может быть определена по формуле (см):

$$H = (0,0056 \div 0,0078) \sqrt{q_n}. \quad (I.12)$$

I.9. Высота заполнения разделки

При технологических расчетах иногда возникает необходимость определения высоты заполнения разделки Z одним или несколькими проходами (рис. I.2). Это может быть достигнуто решением квадратного уравнения

$$z^2 + nz + m = 0, \quad (I.13)$$

$$\text{где } n = -\left(2c - \frac{8}{\operatorname{tg} \frac{\alpha}{2}}\right),$$

$$m = -\left(\frac{F_n}{\operatorname{tg} \frac{\alpha}{2}} - c^2\right).$$

К определению F_n

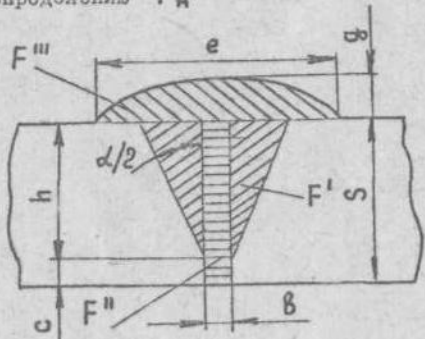


Рис. I.1.

К определению высоты залонения разделки Z

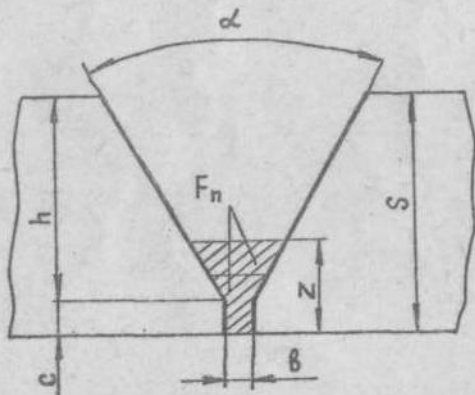


Рис. I.2

2. РАСЧЕТ РЕЖИМОВ И РАЗМЕРОВ ШВА ПРИ МЕХАНИЗИРОВАННОЙ ДУГОВОЙ СВАРКЕ

К параметрам режима механизированной дуговой сварки под флюсом и в защитных газах, определяемых расчетом, относятся: сварочный ток (I_{cb}), напряжение на дуге (U_d), скорость сварки (V_{cb}), диаметр (d_e) и скорость подачи электродной проволоки ($V_{n.e}$). Остальные параметры: защитная среда (газовая, шлаковая, газошлаковая), род и полярность тока, вылет электрода (l), угол наклона электрода и изделия, начальная температура изделия, расход флюса или защитного газа и т.д. устанавливают, исходя из условий сварки конкретных изделий либо марки стали.

Шов характеризуется (рис. 2.1, а) глубиной проплавления (H), шириной шва (e), высотой усиления (g), коэффициентом формы провара ($\Psi_{np} = e/H$) и коэффициентом формы валика ($\Psi_b = e/g$).

Расчет режима сварки производится всегда для конкретных случаев, когда известны марка свариваемой стали, способ сварки, выбранные сварочные материалы: марка флюса или защитного газа, марка сварочной проволоки и другие данные по шву и технологическому процессу. До начала расчета по чертежу, рекомендациям соответствующих ГОСТов или ТУ устанавливают вид соединения, форму подготовки кромок и размеры конструктивных элементов подготовки кромок, а также шва сварного соединения. Выбранные формы, размеры подготовки кромок и шва изображают на бумаге в натуральную величину или в масштабе с сохранением оптимальных размеров по глубине провара, ширине шва, высоте усиления, площади сечения наплавленного металла. Затем производят расчет режима сварки из условия обеспечения выбранных по соответствующему ГОСТу или ТУ размеров шва в последовательности, определяемой типом соединения.

2.1. Расчет режимов сварки и размеров односторонних и двухсторонних стыковых швов без разделки кромок и без зазора встыке

1) Устанавливают требуемую глубину провара (H), мм. При односторонней однопроходной сварке из весу (рис. 2.1, а):

$$H = (0,7 - 0,8) S \quad (2.1)$$

Если $H > (0,7 \div 0,8) S$, то проплавление скачкообразно увеличивается и возможен проког металла, однако при сварке из флюсовой, флюсомедной подушках и медном ползуне (соединения типа С4, ГОСТ 8713-79)

$$H = S \quad (2.2)$$

на оставшейся подкладке и в замковом соединении

$$H \text{ не менее } S. \quad (2.3)$$

При двухсторонней сварке необходимо обеспечить сплошность провара сечения, поэтому (рис. 2.1, б, в)

$$H_1 + H_2 = S + K, \quad (2.4)$$

где K - перекрытие, оно обычно равно 2 - 5 мм.

Когда по условиям работы не требуется сквозной провар, глубину провара задают на 2 - 3 мм меньше половины толщины металла.

Если шов симметричный, то (рис. 2.1, б)

$$H_1 = H_2 = \frac{S+K}{2}, \quad (2.5)$$

а если несимметричный, то глубина проплавления шва меньшего сечения равна (рис. 2.1, в)

$$H_1 = (0,3 - 0,35) S, \quad (2.6)$$

если $H_1 < (0,3 - 0,35) S$, то при выполнении шва большего сечения с другой стороны возможен проког, так как $H_2 > (0,7 - 0,8) S$.

2. Определяют величину сварочного тока (I_{cb}), обеспечивающего заданную глубину провара (H_1), по формуле (А) :

$$I_{cb} = \frac{H_1}{K_h} \cdot 100, \quad (2.7)$$

где K_h - коэффициент пропорциональности, величина которого зависит от условий проведения сварки (табл. 2.1).

3. Выбирают диаметр электродной проволоки по формуле (им):

$$d_3 = 1,13 \sqrt{\frac{I_{cb}}{j}}, \quad (2.8)$$

где j - допустимая плотность тока, A/mm^2 , которая при механизированной сварке стыковых швов без скоса кромок зависит от диаметра электрода (табл. 2.2).

Таблица 2.1

Значения K_h в зависимости от условий сварки

Марка флюса или защитного газа	Диаметр электродной проволоки, мм	K_h , мм/100 А при сварке на	
		Переменном токе	Постоянном токе Прямой полярности
ОСЦ-45	2	1,30	1,15
	3	1,15	0,95
	4	1,05	0,85
	5	0,95	0,75
	6	0,90	-
АН-348 А	2	1,25	1,15
	3	1,10	0,95
	4	1,00	0,90
	5	0,95	0,85
	6	0,90	-
Углекислый газ	1,2	-	-
	1,6	-	-
	2,0	-	-
	3,0	-	-
	4,0	-	-
	5,0	-	-

Таблица 2.2

Значения j в зависимости от d_3

d_3 , мм	1	2	3	4	5	6
j , A/mm^2	90-400	65-200	45-90	35-60	30-50	25-45

Полученное расчетное значение d_3 округляется до ближайшего целого.

4) Определяют напряжение на дуге

$$U_d = 20 + \frac{50 \cdot 10^{-3}}{d_3^{0.5}} \cdot I_{cs} \pm 1. \quad (2.9)$$

5) Определяют скорость сварки U_{cs} , из условия обеспечения такой формы шва, при которой последний будет иметь высокую работоспособность и стойкость к кристаллизационным трещинам. Это возможно, когда коэффициент формы ванны $\Psi = L/e$ (L - длина ванны, e - ширина ванны) на различных режимах сварки остается неизменным. Согласно теории распространения тепла при сварке для сохранения геометрического подобия ванны необходимо обеспечить

$$I_{cs} \cdot U_{cs} = A = \text{const}. \quad (2.10)$$

Для получения швов требуемой формы, обладающих высокой технологической прочностью, значения A принимают в пределах, приведенных в табл. 2.3.

Таблица 2.3

Значения A в зависимости от d_3

$d_3, \text{мм}$	1,2	1,6	2,0	3,0	4,0	5,0	6,0
$A, \text{A} \cdot \text{м}/\text{ч}$	2000- 5000	5000- 8000	8000- 12000	12000- 16000	16000- 20000	20000- 25000	25000- 30000

Тогда скорость сварки определяется как (м/ч)

$$U_{cs} = \frac{A}{I_{cs}}. \quad (2.11)$$

При этом необходимо иметь ввиду, что при механизированной сварке без применения особых технологических приемов скорость сварки должна находиться в пределах 15 - 60 м/ч, а расчетные значения скорости сварки должны округляться до ближайших, которые можно установить на выбранном для сварки автомате.

6) Рассчитывают погонную энергию q_n по формуле (1.10), принимая значения эффективного к.п.д. нагрева изделия дугой при сварке под флюсом $\eta_u = 0,85 - 0,95$, при сварке в углекислом газе $\eta_u = 0,80 - 0,84$; U_{cs} - скорость сварки, см/с.

7) Определяют коэффициент формы провала

$$\Psi_{np} = K' (19 - 0,01 \cdot I_{cs}) \frac{d_3 \cdot U_{cs}}{I_{cs}}, \quad (2.12)$$

где d_3 - диаметр электродной проволоки, мм, а значения K' находятся из табл. 2.4.

Таблица 2.4

Значения K' в зависимости от рода и полярности тока

Род и полярность тока	Значение K'	
	При $j < 120 \text{ А}/\text{мм}^2$	При $j \geq 120 \text{ А}/\text{мм}^2$
Постоянный ток	Прямая полярность	$\frac{2,82}{j \cdot 0,1925}$
	Обратная полярность	$0,367 \cdot j \cdot 0,1925$
Переменный ток	1,00	1,00

Для механизированной сварки Ψ_{np} должен находиться в пределах 0,8 - 4. При меньшем значении будут получаться швы, склонные к образованию горячих трещин, при больших - слишком широкие швы с малой глубиной провала, что нерационально с точки зрения использования теплоты дуги и приводит к увеличенным деформациям.

8) Определяют глубину провала H (см): при сварке под флюсом низкоуглеродистых и низколегированных сталей

$$H = 0,0156 \sqrt{\frac{q_n}{\Psi_{np}}}, \quad (2.13)$$

при сварке тех же сталей в углекислом газе

$$H = 0,0165 \sqrt{\frac{q_n}{\Psi_{np}}}, \quad (2.14)$$

в общем случае при сварке других материалов

$$H = 2 \sqrt{\frac{q_n}{\rho_{c\gamma} \cdot T_{pl} \cdot \Psi_{np}}} , \quad (2.15)$$

где $e = 2,718$ - основание натуральных логарифмов,
 $\rho_{c\gamma}$ - объемная теплопроводность свариваемого металла, кал/см³·
⁰С;
 T_{pl} - температура плавления свариваемого металла, ⁰С;
 q_n - кал/см.

9) Определяют ширину шва e (мм)

$$e = \Psi_{np} \cdot H . \quad (2.16)$$

10) Устанавливают вылет электрода l .

При сварке под флюсом вылет электрода выбирают в пределах 20 - 80 мм, при этом меньшим диаметром электрода соответствуют меньшие значения вылета и наоборот. При сварке в углекислом газе вылет электрода l выбирают в пределах 10 - 20 мм.

11) Определяют коэффициент наплавки α_n .

При сварке под флюсом из-за незначительных потерь электродного металла с достаточной для практических расчетов степенью точности можно принять, что коэффициент наплавки α_n равен коэффициенту расплавления α_p .

Значение α_p состоит из двух слагаемых

$$\alpha_p = \alpha_p^0 + \alpha_p^T , \quad (2.17)$$

где α_p^0 - составляющая коэффициента расплавления, обусловленная тепловложением дуги, г/А·ч;

α_p^T - составляющая коэффициента расплавления, зависящая от тепловложения вследствие предварительного нагрева вылета электрода притекающим током, г/А·ч.

При сварке постоянным током обратной полярности

$$\alpha_p^0 = 11,6 \pm 0,4 . \quad (2.18)$$

При сварке переменным и постоянным током прямой полярности

$$\alpha_p^0 = A + B \frac{I_{cs}}{d_3} , \quad (2.19)$$

где d_3 - диаметр электродной проволоки, мм;
 A и B - коэффициенты, значения которых приведены в табл. 2.5.

Таблица 2.5

Значение коэффициентов A и B в зависимости от рода тока

Род тока	Коэффициент	
	A	B
I. Постоянный прямой полярности	6,3	0,065
2. Переменный	7,0	0,04

Величина составляющей α_p^T может быть рассчитана по уравнению

$$\alpha_p^T = 3,1 \cdot 10^{-4} \sqrt{I_{cs}} \frac{l}{d_3^2} , \quad (2.20)$$

где l и d_3 - вылет и диаметр электрода в мм.

При сварке в углекислом газе

$$\alpha_n = \alpha_p (1 - \Psi) , \quad (2.21)$$

где Ψ - коэффициент потерь.

Коэффициент расплавления α_p рассчитывают по формуле (г/А·ч)

$$\alpha_p = 9,05 + 3,1 \cdot 10^{-4} \sqrt{I_{cs}} \frac{l}{d_3^2} , \quad (2.22)$$

где l и d_3 в мм.

Коэффициент потерь в диапазоне плотностей тока 60-320 А/мм² равен:

$$\Psi = 4,72 + 17,6 \cdot 10^{-2} j - 4,48 \cdot 10^{-4} j^2 . \quad (2.23)$$

12) Определяют скорость подачи электродной проволоки (м/ч)

$$V_{n.a.} = \frac{4 \alpha_n \cdot I_{cs}}{\pi d_3^2 \gamma} , \quad 391,57 \quad (2.24)$$

где d_3 - диаметр электродной проволоки, мм,
 γ - удельный вес металла, г/см³.

Скорость подачи электродной проволоки $U_{\text{п.з.}}$ окончательно принимают с учетом технической характеристики автомата, на котором будет производиться сварка.

13) Определяют площадь наплавленного металла (см^2)

$$F_n = \frac{\alpha_n \cdot I_{\text{св}}}{3600 \cdot g \cdot U_{\text{св}}} , \quad (2.25)$$

где $U_{\text{св}}$ - скорость сварки, см/с;

g - удельный вес металла, г/см³.

14) Определяют высоту валика. При сварке под флюсом и в углекислом газе в диапазоне режимов, обеспечивающих удовлетворительное формирование шва, коэффициент полноты валика изменяется в узких пределах и практически равен $\psi_e = 0,73$. Тогда высота валика равна (мм)

$$g = \frac{F_n}{0,73 \cdot e} , \quad (2.26)$$

где e - ширина шва, мм;

F_n - площадь наплавленного металла, мм².

15) Определяют общую высоту шва C (мм)

$$C = H + g . \quad (2.27)$$

16) Определяют коэффициент формы усиления

$$\psi_e = \frac{e}{g} . \quad (2.28)$$

Для хорошо сформированных швов ψ_e должен находиться в пределах 7 ± 10. Малые значения ψ_e имеют место при узких и высоких швах, такие швы не имеют плавного сопряжения с основным металлом и обладают неудовлетворительной работоспособностью при переменных нагрузках. Большие значения ψ_e соответствуют широким и низким швам с усилениями, такие швы нежелательны по тем же причинам, что и швы с чрезмерно большим значением ψ_e , а также в связи с возможным уменьшением сечения шва по сравнению с сечением основного металла из-за колебаний уровня жидкой ванны.

Если полученные в расчете размеры шва удовлетворяют поставленным требованиям, то аналогично рассчитывают режим сварки с другой стороны. При необходимости производят корректировку режима сварки.

2.2. Расчет режимов сварки и размеров шва стыковых соединений с зазором и разделкой кромок

Последовательность расчета режимов сварки швов стыковых соединений с зазором и со скосом кромок аналогична предыдущему. Однако наличие разделки и зазоров влияют главным образом на соотношение долей участия основного и наплавленного металла, а контур провара и общая высота шва C при неизменном режиме сварки остаются практически неизменными, т.е. $C = H + g = \text{const}$.

Поэтому для расчетов режима сварки и размеров шва стыковых соединений с зазором и разделкой кромок применяют следующую последовательность работ:

1) Определяют режим сварки и размеры шва по формулам (2.1 - 2.26), как для соединений без разделки кромок и без зазора.

Глубину провара H при сварке первым проходом в многопроходном шве назначают обычно из условия полного провара притупления. При применении флюсовой, флюсомедной подушек, медного ползуна, остающейся подкладки учитывают выражение (2.2), а если соединение двух стороннее, то выражения (2.4 и 2.5).

2) Определяют количество наплавленного металла, необходимое для образования валика заданных размеров F'' . В общем случае оно равно (рис. 2.2, а)

$$F'' = F_n - 2F' - F'' = F_n - h^2 \cdot \operatorname{tg} \frac{\alpha}{2} - Cg , \quad (2.29)$$

где F_n - количество наплавленного металла на рассчитанном режиме по формуле (2.25),

F' , F'' , F''' - количество наплавленного металла, идущее, соответственно, на заполнение разделки, зазора и усиления шва.

3) Определяют высоту усиления g' при наличии разделки и зазора (рис. 2.2, б)

$$g' = \frac{F''}{0,73e - g} = \frac{F_n - Cg - h^2 \operatorname{tg} \frac{\alpha}{2}}{0,73e - g} . \quad (2.30)$$

При наличии лишь зазора и отсутствии разделки ($h = 0$) (рис. 2.2, б)

$$g' = \frac{F_h - C \cdot \delta}{0,75e - \delta} . \quad (2.31)$$

При наличии разделки и отсутствии зазора ($\delta = 0$) (рис. 2.2, в)

$$g' = \frac{F_h - h^2 \operatorname{tg} \frac{\alpha}{2}}{0,75e} . \quad (2.32)$$

4) Определяют H' .

$$H' = C - g'. \quad (2.27')$$

Полученное значение H' сопоставляют с заданным (п. I, раздел 2.2) и при значительных отклонениях корректируют режим сварки.

2.3. Расчет режима сварки и размеров многопроходных швов стыковых соединений с разделкой кромок

Если шов стыкового соединения с разделкой кромок выполняют за несколько проходов, то первоначально определяют режим сварки первым проходом.

1) Устанавливают требуемую глубину проплавления притупления.

При сварке односторонних швов глубину провара устанавливают в зависимости от примененного приема для формирования корня шва, предотвращающего образование прожогов, но не менее величины притупления C , мм.

При двухсторонней сварке требуемая глубина провара H'_o устанавливается в соответствии с формулами (2.4, 2.5), подставляя в них значение C вместо S (рис. 2.3).

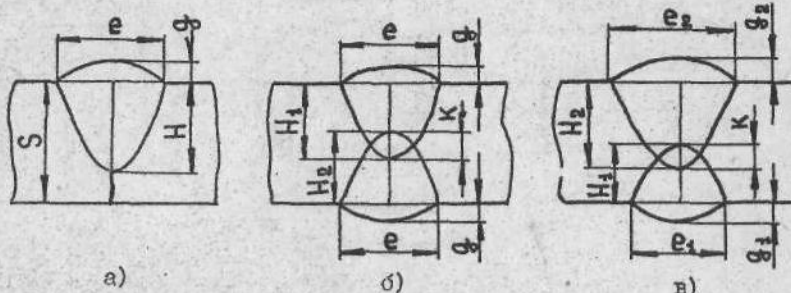
2) Выбирают для первого прохода диаметр электродной проволоки (табл. 2.2), заздраваясь $\frac{d}{2}$.

3) Рассчитывают величину сварочного тока I_{cs} (A):

$$I_{cs} = \frac{\pi \cdot d^2}{4} \cdot j , \quad (2.33)$$

где j — допустимая плотность тока в электроде (A/mm^2), которую уменьшают для обеспечения благоприятной формы провара и снижения вероятности образования кристаллизационных

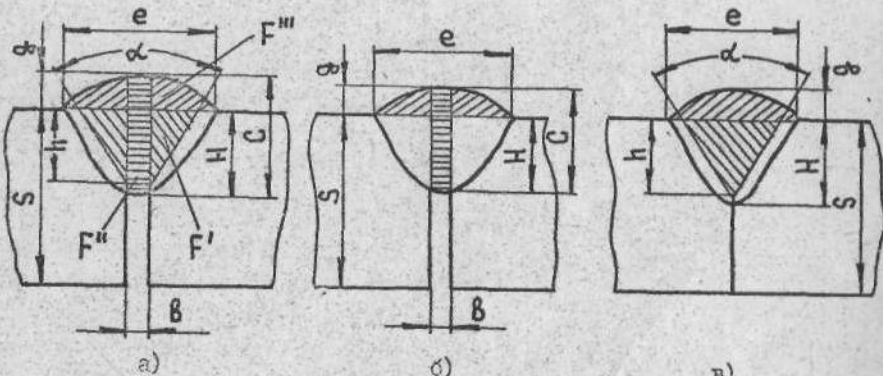
Стыковой шов



a — односторонний на весу;
б — двухсторонний симметричный;
в — двухсторонний несимметричный.

Рис. 2.1.

Изменение размеров шва при наличии:



а — разделки и зазора;
б — зазора;
в — разделки.

Рис. 2.2.

трещин (берут значения, близкие к минимальному пределу допустимых плотностей тока, табл. 2.2).

4) Рассчитывают режим сварки первым проходом и размеры шва по формуле (2.9 - 2.28).

5) Определяют высоту усиления g'_o (рис. 2.3) по формуле (мм):

$$g'_o = \sqrt{\frac{F_h - C' \cdot b}{\operatorname{tg} \alpha / 2}}, \quad (2.34)$$

где F_h - площадь поперечного сечения металла, наплавленного за данный проход, определяется по формуле (2.25), мм².

6) Определяют H'_o .

$$\checkmark H'_o = C' - g'_o. \quad (2.27'')$$

Полученное значение H'_o сопоставляют с заданным (п. I, раздела 2.3) и при значительных расхождениях корректируют режим сварки.

7) Выбирают режим сварки первым проходом с другой стороны шва, исходя из условия обеспечения провара притупления (рис. 2.3), т.е.

$$H'_o + H''_o = c + k, \quad (2.35)$$

где c - величина притупления,

k - перекрытие.

Обычно режим сварки первым проходом с обеих сторон шва называют одинаковым.

8) Рассчитывают режим сварки последующих проходов и размеры шва по формулам (2.7 - 2.24) и из условия максимальной производительности и минимального числа проходов. Кроме того, соблюдают условия заполнения разделки и плавного сопряжения шва с основным металлом. Если при выполнении последних проходов окажется, что шов не перекрывает разделку, то их выполняют в два прохода.

Скорость сварки V_{cs} рассчитывают из условий обеспечения равенства (2.10) и необходимого количества наплавленного металла за один проход ($F_h^{\text{посл}}$) по формуле (см/с):

$$V_{cs} = \frac{\alpha_h \cdot I_{cs}}{3600 \cdot g \cdot (F_h^{\text{посл}})'}, \quad (2.36)$$

где размерности всех величин те же, что и в формуле (2.25). При этом максимальное сечение одного прохода не должно превышать 100 мм².

9) Определяют площадь поперечного сечения последующих проходов при двухсторонней сварке (см²) с первой стороны шва (рис. 2.3)

$$F_h^{\text{посл}} = (h - g'_o)[b + (h + g'_o) \cdot \operatorname{tg} \alpha / 2] + 0,73 e_1 g_1; \quad (2.37)$$

со второй стороны шва (рис. 2.3)

$$F_h^{\text{посл}} = (h - g''_o)[b + (h + g''_o) \cdot \operatorname{tg} \alpha / 2] + 0,73 e_2 g_2, \quad (2.38)$$

где g''_o - определяется аналогично g'_o :

$$g''_o = \sqrt{\frac{F_h - C'' \cdot b}{\operatorname{tg} \frac{\alpha}{2}}}. \quad (2.39)$$

В формулах (2.34 - 2.38) b , c , h , α - размеры разделки кромок, e , e_1 , e_2 , g , g_1 , g_2 - размеры усиления шва по чертежу, ГОСТ или ТУ.

В случае, если со стороны разделки производится ручная подварка, $F_h^{\text{посл}}$ определяют по формуле (2.37), подставив в нее вместо g'_o величину ($z - c$), полученную из рис. I.2.

10) Определяют число последующих проходов, выполняемых на одном режиме, с каждой стороны шва.

$$n = \frac{F_h}{(F_h^{\text{посл}})'}, \quad (2.40)$$

где $(F_h^{\text{посл}})'$ - площадь поперечного сечения наплавленного металла за один проход (формула 2.36').

2.4. Расчет режима сварки и размеров швов тавровых и угловых соединений

Режим сварки угловых швов тавровых и угловых соединений, свариваемых в лодочку, с некоторым приближением можно определить так же, как для стыковых соединений с углом разделки $\alpha = 90^\circ$ (рис. 2.4). Однако при его выборе необходимо учитывать некоторые

специфические особенности формирования угловых швов, а именно: при получении плоских или выпуклых швов ширина шва всегда должна быть равна расстоянию по горизонтали между свариваемыми деталями (рис. 2.4, а). Если ширина шва будет больше этого расстояния, то неизбежны подрезы (рис. 2.4, б). Поэтому коэффициент формы углового шва, равный отношению ширины шва к общей высоте его ($\Psi = e/C$) должен быть не больше 2. Вместе с тем слишком глубокие и узкие швы (с малым коэффициентом формы) склонны к образованию горячих трещин из-за неблагоприятных условий кристаллизации.

Практикой установлено, что угловые швы удовлетворительно формируются из режимах, при которых плотность тока в электроде находится в пределах средних значений, указанных в табл. 2.6.

Таблица 2.6

Допустимые плотности тока при сварке угловых швов

Диаметр электрода, мм	2	3	4	5
Допустимая плотность тока j , A/mm^2	60 ± 150	45 ± 85	35 ± 55	30 ± 40

С учетом указанного расчета режима ведут в следующей последовательности:

1) Определяют поперечное сечение наплавленного металла при получении плоского шва, зная катет шва K (указывается в чертеже конструктором), по формуле:

$$F_n = \frac{K^2}{2} \quad (2.41)$$

2) Выбирают диаметр электрода. При его выборе необходимо иметь в виду, что угловые швы с катетом 3-4 мм можно получить лишь при использовании электродной проволоки диаметром не более 2 мм; минимальный катет 5-6 мм обеспечивается при сварке электродной проволокой диаметром 3-5 мм. Сварочную проволоку диаметром более 5 мм, затрудняющую провар вершины углового шва, применять не рекомендуется.

3) Для принятого диаметра электрода по табл. 2.6 подбирают плотность тока и по формуле (2.33) определяют сварочный ток.

К определению g'_o , H'_o и $F_n^{посл}$ при многослойной сварке

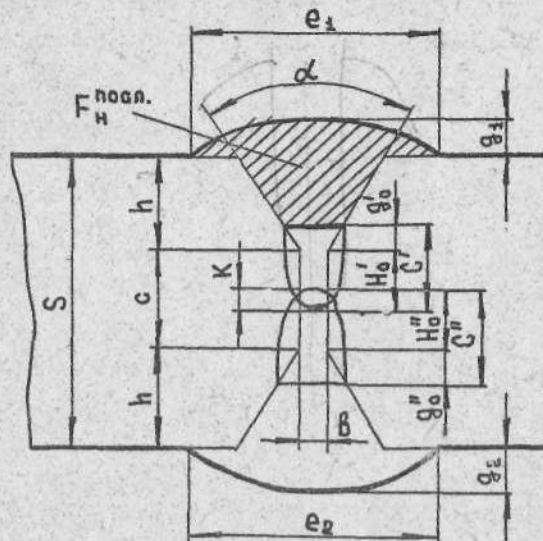
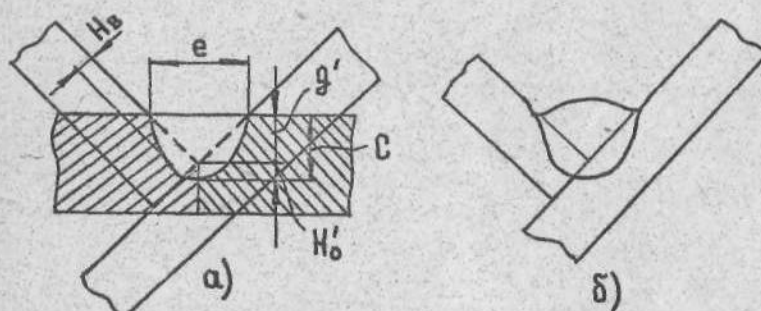


Рис. 2.3

Формирование углового шва при сварке в лодочку



а) — удовлетворительное,
б) — подрезы.

Рис. 2.4

4) Рассчитывают по формулам (2.17 - 2.23) коэффициент неплавки F_n .

5) Определяют по формуле (2.25) скорость сварки, обеспечивающую при данной величине сварочного тока требуемую площадь неплавки F_n .

6) Рассчитывают критический ток (рис. 2.5) для определения формы поверхности шва (плоская, вогнутая или выпуклая) по формуле:

$$I_{kp} = I_0 + m U_{cv}, \quad (2.42)$$

где I_{kp} - критический сварочный ток, т.е. ток, при котором для данной скорости сварки получается шов с плоской поверхностью;

I_0 - условный критический ток при нулевой скорости сварки, для механизированной сварки $I_0 = 350$ А; m - коэффициент, характеризующий наклон прямой (табл. 2.7).

Таблица 2.7

Коэффициент m в зависимости от диаметра электрода

Диаметр электрода, мм	2	3	4	5
m , А ч/м	2	4,5	7	10

Если $I_{cv} = I_{kp}$, то получается шов с плоской поверхностью; если $I_{cv} < I_{kp}$ - шов с вогнутой поверхностью; если $I_{cv} > I_{kp}$ - шов с выпуклой поверхностью.

7) По формуле (2.9) находят напряжение дуги и по (2.12) - коэффициент формы провара. При этом необходимо иметь в виду, что напряжение дуги следует выбирать ближе к нижнему пределу диапазона оптимальных значений.

8) По формуле (1.10), принимая значения η_u из п.б раздела 2.1, определяют погонную энергию q_n .

9) Определяют основные размеры шва при сварке стыкового бескосного соединения на принятом режиме: глубину провара H по формулам (2.13 - 2.15), ширину шва e и высоту валика g по (2.16 и 2.26), общую высоту шва C по (2.27). При этом e

должна равняться расстоянию по горизонтали между свариваемыми деталями.

10) Определяют коэффициент формы углового шва

$$\Psi = \frac{e}{C}, \quad (2.43)$$

который должен быть не больше 2.

II) Полагая, как и в предыдущих случаях, что полученное значение C является общей высотой и углового шва, определяют высоту заполнения разделки g' по формуле (2.32). При отсутствии зазора ($b = 0$) и $\alpha = 90^\circ$

$$g' = \sqrt{F_n}. \quad (2.44)$$

Тогда глубину проплавления H'_o определяют по формуле (рис. 2.4)

$$H'_o = C - g'. \quad (2.45)$$

12. Определяют глубину проплавления вертикальной стени

$$H_B = (0,8 - 1,0) H'_o. \quad (2.46)$$

Если предъявляется требование обеспечить сплошной провар стены тавра, а при максимально допустимой плотности тока обеспечить требуемую глубину проплавления невозможно, то прибегают к разделке кромок.

При расчете режимов сварки угловых швов следует учитывать, что хорошее формирование шва без изтеков на горизонтальную плоскость и подрезов вертикального листа получается при катете шва не более 8 - 9 мм. Швы с большими катетами выполняются за несколько проходов: при катете 9 - 14 мм - за два прохода; 15 - 16 мм - за три, 17 - 20 мм - за четыре.

3. РАСЧЕТ РЕЖИМОВ ДУГОВОЙ СВАРКИ НИЗКОУГЛЕРОДИСТЫХ И НИЗКОСУГЛЕРОДИСТЫХ НИЗКОЛЕГИРОВАННЫХ СТАЛЕЙ

3.1. Выбор критериев для расчетного определения режимов сварки

Низкоуглеродистые нелегированные стали имеют очень высокую

критическую скорость охлаждения при закалке и поэтому в зонах термического влияния (ЗТВ) сварных соединений этих сталей ощущаемого общего повышения твердости не наблюдается. Свойства сварных соединений таких сталей в основном определяются степенью развития рекристаллизации и огрубления структуры околосваренной зоны и шва. Поэтому в качестве основного расчетного критерия определения режимов сварки используют скорость охлаждения $w_{\text{окл}}$. внутри некоторого оптимального интервала Δw опт. (табл. 3.1), который обычно устанавливают по данным вязкостной пробы таким образом, чтобы ударная вязкость в ЗТВ при отрицательных температурах была не ниже 30 дж/см².

Аналогичны указанным сталям низколегированные низкоуглеродистые типа О9Г2, 10Г2У. Хотя в этих сталях повышенное содержание марганца снижает критическую скорость охлаждения и пониженное содержание углерода в них предопределяет практически отсутствие мартенситного распада.

Несколько иначе ведут себя при сварке стали 10Г2СЛ, 15ХСНД, 17ГС и им подобные низколегированные с повышенным содержанием марганца, хрома и других легирующих элементов при содержании углерода 0,15 % и более. У этих сталей вследствие наличия карбидов с более высокой устойчивостью, чем цементит, при наличии повышенного количества углерода, начинает сказываться эффект образования негомогенного аустенита при сварочном нагреве и при охлаждении — образование бейнита и мартенсита. Поэтому сварку таких сталей лучше выполнять на режимах, обеспечивающих скорость охлаждения металла, близкую к нижней границе интервала Δw опт., то есть при повышенных значениях погонной энергии. Указанные ограничения касаются в основном металла больших толщин (свыше 25–30 мм), так как при малых толщинах, даже если в ЗТВ образуется мартенсит, количество его настолько мало, что не оказывает практически влияния на свойства: твердость ЗТВ этих сталей не превышает НВ 220.

Большего внимания требует сварка низколегированных сталей с карбонитридным упрочнением типа 16Г2АФ, 18Г2АФ и др. Принцип легирования этих сталей и создания в них повышенной прочности и вязкости основан на упрочнении феррита марганцем, образовании дисперсной упрочняющей фазы на базе имеющихся в стали азота, углерода, ванадия и получения очень мелкого зерна за счет ограничивающих его рост не растворяющихся при нагреве нитридов (алюминия, частично ванадия

и др.), которые также служат центрами кристаллизации во время перекристаллизации при охлаждении. Упрочняющая дисперсная карбонитридная фаза выделяется и упрочняет феррит в процессе охлаждения. Таким образом в сталях рассмотренного типа наличие дисперсной фазы позволяет повысить прочность, а получение мелкого зерна (база 10–12) способствует повышению вязкости и хладостойкости.

Условия обеспечения высокой прочности и вязкости требуют сохранения упрочняющей фазы в дисперсном состоянии и сохранения мелкого зерна. Повышение погонной энергии и соответственно увеличение времени пребывания при высоких температурах в принципе может увеличить степень коагуляции упрочняющей фазы и повысить степень ее растворения, а также рост зерна. Вследствие этого прочность и вязкость ЗТВ при сварке на повышенных значениях погонной энергии могут снижаться. Поэтому при расчете режимов сварки этих сталей следует ориентироваться на скорости охлаждения металла, близкие к верхней границе интервала Δw опт., установленного по пробе ИМЕТ-1 (табл. 3.1).

Стремление к уменьшению веса сварных конструкций и изделий привело к использованию низколегированных сталей в термически улучшенном состоянии — после закалки и высокого отпуска при температурах 550–670 °С. В таком состоянии применяют, например, стали 10ХСНД, 17ГС, 16Г2АФ, 18Г2АФ и др. Сварка термически упрочненных сталей осложняется тем, что в ЗТВ, там где нагрев происходит до температуры, близкой к А₁, происходит некоторое разупрочнение. Степень его тем больше, чем выше прочность закаленной и отпущенной стали перед сваркой и чем больше погонная энергия при сварке. Поэтому сварку термически улучшенных сталей предпочтительно выполнять с малым временем пребывания металла при высокой температуре, то есть на режимах, обеспечивающих скорость охлаждения металла, также близкую к верхней границе интервала Δw опт. (табл. 3.1).

3.2. Последовательность расчета режимов сварки

Расчет режимов сварки низкоуглеродистых и низкоуглеродистых низколегированных сталей производится в следующей последовательности.

I) Рассчитывают параметры режима сварки исходя из условий получения швов с оптимальными размерами и формой по методике, изложенной в разделах I, 2.

Таблица 3.1

Оптимальный интервал скоростей охлаждения при сварке по данным изменения структуры и свойств сталей в околосварочной зоне

Сталь		Оптимальный интервал скорости охлаждения		Коли-чество отверстий марки вузычной сите, %, пределам		
		По каким свойствам выбран	По какой пробе выбран	соотв. пределам		
		°С/с		ΔW _{опт.}		
		ΔW _{опт.}		ΔW _{опт.}		
	I	2	3	4	5	6
Ст.2	6-18	$a_n \geq 50 \text{ дж/см}^2$ (при - 60 °C)	Валиковая (S = 20 мм)	-	155-170	
Ст.3 кп	1,2-12	$a_n \geq 20$ (при - 50 °C)	Валиковая (S = 12)	-	-	
✓ Б Ст.3	0,12-40	$a_n \geq 20$	ИМЕТ-1	-	130-190	
	1,4-15	$a_n \geq 50$ (при - 50 °C)	Валиковая (S = 12)	-	155-165	
✓ 09Г2	1,0-15,0	$a_n \geq 80$ (при - 60 °C)	Валиковая (S = 12)	-	215-185	
10Г2У	0,7-3,8	$a_n \geq 40$ (при + 60 °C)	Валиковая (S = 10)	-	205-180	
14Г2	1,0-1,2	$a_n \geq 20$ (при - 70 °C)	Валиковая (S = 20)	-	255-270	
18Г2АФ	0,1-1,2	$\psi \geq 35$, $b \geq 17$	ИМЕТ-1	0-30	190-275	
✓ 16ГС	1,0-12,0	$a_n \geq 20$ (при - 60 °C)	Валиковая (S = 20)	-	190-225	
17ГС	10 - 30	$a_n \geq 40$ (при - 60 °C)	Валиковая (S = 11)	-	225-235	
10Г2СД	1,0-15	$a_n \geq 20$ (при - 60 °C)	Валиковая (S = 12)	-	185-250	
14ХГС	2,4-16	$a_n \geq 40$ (при - 70 °C)	Валиковая (S = 20)	-	200-225	
12ХГН	1,2-52	$a_n \geq 30$ (при - 60 °C)	Валиковая (S = 16)	-	170-240	
14ХР2	1,2-5,5	$a_n \geq 20$ (при - 50 °C)	Валиковая (S = 20мм)	-	325-335	
✓ 10ХСНД	0,8-15	$a_n \geq 12,8$ (при + 20°C)	Валиковая (S = 18)	-	250-275	
✓ 15ХСНД	1,8-9,0	$a_n \geq 7$ (при + 20°C)	Валиковая (S = 12)	-	230-250	

2) По известной погонной энергии рассчитанного режима сварки определяют фактическую скорость охлаждения околосварочной зоны при температуре наименьшей устойчивости аустенита ($T_m = -500-600$ °C).

Расчет фактической скорости охлаждения околосварочной зоны производят на основе теории распространения тепла при сварке, разработанной академиком Н.И. Рыкалевым по следующим формулам: при наплавке велика на массивное тело

$$w_{\text{окл.}} = 2\pi\lambda \frac{(T_m - T_0)^2}{q_n}, \quad (3.1)$$

при однопроходной сварке листов встык со сквозным проплавлением

$$w_{\text{окл.}} = 2\pi\lambda c g \frac{(T_m - T_0)^3}{(q_n/S)^2}, \quad (3.2)$$

где $w_{\text{окл.}}$ - мгновенная скорость охлаждения при температуре

T_m , °C/с;
 λ - коэффициент теплопроводности, кал/см·с · °C; -009
 c_g - объемная теплоемкость, кал/см³ · °C; 1,2
 T_0 - начальная температура изделия, °C;
 S - толщина свариваемого металла, см;
 q_n - погонная энергия (кал/см), определяется в соответствии с п.6 раздела 2.1.

Для приближения расчетной схемы к действительным условиям ввода тепла в изделие при сварке I-го слоя шва необходимо для погонной энергии q_n и толщины металла S при расчете по формулам (3.1) и (3.2) ввести поправочные коэффициенты K_1 и K_2 , учитывающие влияние конструкции соединения (табл.3.2).

Таблица 3.2

Коэффициенты приведения

Приводимая величина	Первый слой стыка: Наплавка, одноугол разделки 60°: Постойк при соединении твердом, нахлесточном		
Погонная энергия (коэффиц. K_1)	3/2	I	2/3
Толщина металла (коэффиц. K_2)	3/2	I	I

Для расчета скорости охлаждения металла при сварке I-го слоя шва следует подставить в формулы (3.1,3.2) не истинные значения погонной энергии q_n и толщины металла S , а приведенные

$$q_{n \text{ прв.}} = K_1 q_n; \quad S_{\text{прв.}} = K_2 S. \quad (3.3)$$

3) Рассчитанную фактическую скорость охлаждения с учетом ограничений для данной марки стали, изложенных в п.3.1, сравнивают с диапазоном оптимальных скоростей охлаждения по табл.3.1. Если фактическая скорость охлаждения находится вне диапазона оптимальных скоростей, то необходимо сделать перерасчет режима сварки с целью изменения погонной энергии и скорости охлаждения, например, изменить сварочный ток и скорость сварки, вместо однопроходной сварки применить многопроходную и т.д.

При этом необходимо, чтобы новый режим сварки обеспечивал и нормальное формирование шва.

4. РАСЧЕТ РЕЖИМОВ ДУГОВОЙ СВАРКИ ЗАКАЛИВАЮЩИХСЯ СТАЛЕЙ

К сталям, закаливающимся в условиях сварки, могут быть отнесены углеродистые и легированные стали. Примерами марок закаливающихся сталей могут служить 35Х, 40Х, 45Х, 35Г2, 40Г2, 50Г2, 30ХГТ, 30ХГНА, 30ХГСА и др. По чувствительности к термодеформационному циклу сварки к этой группе сталей можно отнести углеродистые стали изок 30, 35, 40, 45, 50 и др., а также теплоустойчивые стали марок 15И, 15ХМА, 20ХМ, 20ХМА, 12ХИМФ, 15ХИМФ, 12Х5МА, 20Х2МА, 30ХМА и др.

К группе закаливающихся сталей относятся также высоколегированные хромистые стали мартенситного и мартенситно-ферритного классов 12Х13, 15Х12ВМФ и др.

4.1. Критерии расчетного определения режимов сварки

Выбор критериев для расчета режимов дуговой сварки указанной выше группы сталей определяется типом стали и конструкции, условиями ее эксплуатации и характером термической обработки до и после сварки.

Если сталь перед сваркой подвергнут термообработке (нормализации или закалке с отпуском), а после сварки отпуск невозможен из-за больших габаритных размеров конструкции, то в качестве основного критерия расчета параметров технологии и режимов наиболее производительных методов однопроходной и многослойной сварки длинными участками принимают скорость охлаждения W охл окколошовной зоны внутри интервала скоростей охлаждения $\Delta W_{\text{опт}}$ (табл.4.1), в котором достигается оптимальное сочетание механических свойств в ЗТВ и шве. Чтобы предупредить опасность образования холодных трещин, скорость охлаждения W охл следует назначать с учетом допустимых скоростей охлаждения W_q (табл. 4.2), которая в зависимости от типа стали и жесткости сварного соединения может в большей или меньшей мере ограничивать диапазон приемлемых скоростей охлаждения внутри интервала $\Delta W_{\text{опт}}$.

Если сталь перед сваркой подвергают термообработке, а после сварки - отпуску для снятия напряжений и выравнивания механических свойств сварного соединения с целью обеспечения его равнопрочности с основным металлом или сталь перед сваркой подвергают отжигу, а после сварки - полной термической обработке из сверхвысокую прочность 1600-2000 МПа (закалке с низким отпуском), то в качестве основного критерия при расчете параметров режимов однопроходной или многослойной сварки длинными участками принимают предельно допустимую скорость охлаждения W_q (табл. 4.2), гарантирующую отсутствие трещин в окколошовной зоне и шве.

При сварке стали со средней устойчивостью austenита выбранный по W_q режим часто требует корректировки для получения заданных механических свойств. В этом случае дополнительным критерием служит интервал скоростей охлаждения $\Delta W_{\text{опт}}$ (табл.4.1), в котором обеспечиваются оптимальные механические свойства в окколошовной зоне и других участках соединения до и особенно после отпуска.

4.2. Последовательность расчета режимов сварки

1) Рассчитывают параметры режима сварки, исходя из условия нормального формирования шва по методике, изложенной в разделах I и 2.

2) Определяют по формулам (3.1,3.2) фактическую скорость охлаждения окколошовной зоны при температуре изменившей устойчивости austenита.

Таблица 4.1

Оптимальный интервал скоростей охлаждения при сварке
по данным изменения структуры и свойств стали в околосшовной
зоне

Сталь	Оптимальный интервал скоростей охлаждения		Количество сита, %	Твердость во мартен. HB, соответствующая пределам		
	$\Delta w_{\text{окл.}}$	Свойствам, выбран				
				пределам: $\Delta w_{\text{опт.}}$		
	1	2	3	4	5	6
35	0,12-7,0	$a_n \geq 20 \frac{\text{дк}}{\text{см}^2}$	ИМЕТ-I	0-30	I36-200	
✓ 40	2,4-5,0	$a_n \geq 60$	Валиковская ($S = 16 \text{ мм}$)	-	265-280	
✓ 45	2,0-4,0	$a_n \geq 35$	"	5	230-250	
✓ 40Х	4,0-14,0	$a_n \geq 50$	"	75-90	340-460	
✓ I2MX	2 -I100	$\Psi \geq 40$	ИМЕТ-I	0 - 50	I56-275	
✓ 30ХМА	0,1-I10	$\Psi \geq 30;$ $\delta \geq 12$	"	0--15	I90-250	
✓ 35ХМ	I - 5	$\Psi \geq 25$	"	0 - 40	230-340	
✓ 40ХМА	$\leq 0,7$	$\Psi \geq 20$	"	50		
✓ 25Н3	0,8-70	$a_n \geq 50$	Валиковская ($S = 16$)	0-I00	I75-455	
✓ 20ХГСА	I,6-70	$\Psi \geq 25$	ИМЕТ-I	0-I00	250-420	
✓ 25ХГСА	0,07-I,3	$\Psi \geq 20$	"	-	I70-250	
✓ 30ХГСА	I,6-6,0	$\Psi \geq 22$	"	0-80	345-450	
✓ 35ХГСА	I,5-7,0	$a_n \geq 50$	Валиковская ($S = 16 \text{ мм}$)	30-90	400-450	
✓ 20Х2МФ	I - 25	$\Psi \geq 40$	ИМЕТ-I	0 - 30	270-425	
X5M	0,8-8,0	$\Psi \geq 25$	"	-	340-370	
I5ХIIМФ	≤ 40	$\Psi \geq 20$	"	0 - I00	395	
I5ХI2ВМФ	≤ 25	$\Psi \geq 12$	"	0- I00	395	
I2ХI3	не ограничиваются	$\Psi \geq 17$	"	0 - I00	380	

Таблица 4.2

Допустимые скорости охлаждения при сварке по данным испытаний на сопротивляемость образованию холодных трещин

Сталь	Проба CTS			Крестовая проба		
	Допусти- мая ско- рост- охлажд.	Допусти- мая ко- личес- тво	Допусти- мая ско- рост- охлажд.	Допусти- мая ко- личес- тво мар-	Допусти- мая ско- рост- охлажде- ния	Допусти- мая ко- личес- тво
	$w_g, ^\circ\text{C}/\text{с}$	%	HB	HB	$w_g, ^\circ\text{C}/\text{с}$	HB
45	I5	80	400	8	30	375
40Х	5,5	80	470	2,5*	55	390
35ХМ	I5	70	430	-	-	-
40ХМА	-	-	-	5*	90	467
25Н3	36	90	455	24	85	435
20ХГСА	-	-	-	6	30	310
30ХГСА	5,5	-	440	2*	20	390
35ХГСА	5,5	90	440	2*	70	390
20Х2МФ	I5	20	420	-	-	-
I5ХIIМФ	25*	I00	390	-	-	-
I5ХI2ВМФ	25*	I00	380	-	-	-
I2ХI3	I5	I00	380	-	-	-

Примечание: 1. Отмечены * w_g при условии сопутствующего подогрева не ниже 250°C для стали 40ХМА, не ниже 200°C для сталей типа XI и не ниже 100°C для сталей 40Х, 30ХГСА.

2. Сталь, для которой w_g не указаны, практически не склонна к образованию трещин в пределах $\Delta w_{\text{опт.}}$.

3) Результаты расчета сравнивают с данными о допустимых скоростях охлаждения "околошовной" зоны.

Если в результате расчета окажется, что скорость охлаждения основного металла $w_{\text{охл}}$ выше допустимой скорости охлаждения $w_{\text{доп}}$ или же находится вне диапазона оптимальных скоростей для данной марки стали, то производится пересчет параметров режима сварки с целью изменения потенциальной энергии сварки.

В случае, когда изменением потенциальной энергии нельзя обеспечить требуемые скорости охлаждения, основной металл перед сваркой или в процессе сварки должен быть подогрет. Температуру предварительного подогрева T_0 находят по формулам (3.1, 3.2). При их использовании вместо $w_{\text{охл}}$ подставляют допустимую скорость охлаждения $w_{\text{доп}}$.

5. РАСЧЕТ РЕЖИМОВ ДУГОВОЙ СВАРКИ ВЫСОКОЛЕГИРОВАННЫХ ХРОМОНИКЕЛЕВЫХ АУСТЕНИТИЧНЫХ СТАЛЕЙ

В высоколегированных хромоникелевых аустенитных сталях под влиянием термического цикла сварки могут протекать процессы, в результате которых произойдет потеря стойкости металла шва и "околошовной" зоны против коррозии. Возможность появления межкристаллитной коррозии (МКК) зависит от температуры и времени выдержки. Наименьшее время выдержки, необходимое для возникновения склонности металла к МКК, лежит в температурном интервале 680 - 780 °C. Поэтому в качестве критерия расчетного определения режимов сварки аустенитных сталей используют критическое время выдержки $t_{\text{кр.}}$ в указанном интервале температур (табл. 5.1).

Таблица 5.1

Критическое время $t_{\text{кр.}}$ для различных марок стали

Марка стали	Критическое время, кр. о
1	2
1. I2X18H9	20
2. 08X28H10	40
3. 06X18H11	200
4. 04X18H10	1500

Продолжение табл. 5.1

1	:	2
5. I2X18H9T		3600
6. IOX24H19		1000
7. 08X25H20		10000
8. I2X25H20B		10000

Последовательность расчета при этом следующая:

1) Рассчитывают режим сварки исходя из условия нормального формирования шва по методике, изложенной в разделах I и 2. При этом следует иметь ввиду, что эти стали обладают большим удельным электрическим сопротивлением, поэтому допускаемая плотность тока при сварке аустенитными электродами должна быть меньше, чем при сварке никеноуглеродистыми электродами.

2) Определяют фактическую скорость охлаждения и время выдержки металла шва и "околошовной" зоны в опасном интервале температур. Это время пребывания металла шва и "околошовной" зоны в опасном интервале температур сопоставить с критическим временем, т.е. минимальным временем выдержки, которое вызывает возникновение склонности к межкристаллитной коррозии.

Время пребывания металла шва и "околошовной" зоны в опасном интервале температур можно определить по формуле:

$$t_{\text{ом}} = (780 - 680) / w_0 , \quad (5.1)$$

где w_0 - среднее значение скорости охлаждения в интервале температур 780 - 680 °C.

Мгновенную скорость охлаждения при $T = 780$ °C ($w_{\text{охл.} 780}$) и $T = 680$ °C ($w_{\text{охл.} 680}$) в условиях сварки можно определить по формулам (3.1, 3.2) с учетом выражения 3.3, подставив в них вместо T_m соответственно температуры 780 °C и 680 °C.

Средняя скорость охлаждения

$$w_0 = (w_{\text{охл.} 780} + w_{\text{охл.} 680}) / 2 . \quad (5.2)$$

Для сохранения стойкости к МКК должно соблюдаться следующее неравенство:

$$t_{kp} > 2,1 t_{om_1} + 1,74 \sum_1^n t_{on}, \quad (5.3)$$

где t_{kp} - критическое время, определенное по табл. 5.1;
 t_{om_1} - время пребывания в области опасных температур того слоя шва, стойкость которого определяется;
 $\sum_1^n t_{on}$ - суммарное время пребывания в области опасных температур, определяемое суммой соответствующих времен воздействия всех термических циклов сварки (при многослойной сварке) на слой шва, стойкость которого определяется.

6. РАСЧЕТНАЯ ОЦЕНКА ОЖИДАЕМЫХ МЕХАНИЧЕСКИХ СВОЙСТВ МЕТАЛЛА ШВА

При выборе или расчете режима сварки необходимо обеспечивать не только показатели сплошности, правильного формирования, отсутствия дефектов, устойчивости и производительности процесса, но и способствовать получению благоприятных структур и механических свойств металла шва и ЗТВ.

На основании изучения всех факторов, влияющих на механические свойства металла шва: доли участия основного металла в формировании шва и его химического состава, типа и химического состава сварочных материалов, метода и режима сварки, типа соединения и числа проходов в сварном шве, размеров сварного соединения, величины пластических деформаций растяжения в металле шва при его остывании - разработаны приближенные способы оценки ожидаемых механических свойств, многократная проверка которых показала, что расчетные характеристики металла шва по сравнению с экспериментальными определяются с точностью $\pm 10 - 15\%$.

6.1. Расчет механических свойств металла шва при сварке низкоуглеродистых сталей

При сварке низкоуглеродистых сталей химический состав металла шва, характеризуемый эквивалентным содержанием углерода C_{ash} , незначительно отличается от химического состава основного металла, характеризуемого также эквивалентным содержанием углерода C_{so} .

Для этих сталей $C_{so} = 0,21 - 0,35\%$ и $C_{ash} = 0,20 - 0,30\%$. Механические свойства металла шва зависят в основном только от скорости его охлаждения и пластических деформаций растяжения, возникающих в металле шва при его остывании.

С увеличением скорости охлаждения металла шва вместо сравнительно мягких равновесных структур ферритно-перлитной стали происходит образование неравновесных, мелкодисперсных структур сорбита, тростита и бейнита, что приводит к заметному повышению прочности и уменьшению пластичности металла шва.

Для определения механических свойств металла шва при сварке низкоуглеродистых сталей поступают следующим образом. Взяя механические свойства основного металла и режим сварки, рассчитывают скорость охлаждения, по графику (рис. 6.1) определяют безразмерные коэффициенты $f(NB)$, $f(B_e)$, $f(B_t)$ и $f(\Psi)$, и определяют ожидаемые механические свойства металла шва по формулам:

$$\left. \begin{aligned} B_{ash} &= f(B_e) \cdot B_{so}; \quad B_{tsh} = f(B_t) \cdot B_{to}; \\ \Psi_{ash} &= f(\Psi) \cdot \Psi_o; \quad NB_{ash} = f(NB) \cdot NB_o; \\ \delta_{ash} &= 0,43 \Psi_{ash}, \end{aligned} \right\} \quad (6.1)$$

где B_{ash} , B_{tsh} , Ψ_{ash} , δ_{ash} , NB_{ash} - предел прочности, предел текучести, относительное поперечное сужение, относительное удлинение, твердость металла шва, э; B_{so} , B_{to} , Ψ_o , NB_o - соответствующие характеристики основного металла.

6.2. Расчет механических свойств металла шва при сварке легированных сталей

Для легированных сталей необходимо более точно учитывать химический состав металла шва. Изучая комплексное легирование металла шва с пределом легирования: $C \leq 0,3\%$; $Si \leq 1,0\%$; $Mn \leq 2,5\%$; $Cr \leq 3,0\%$; $Ni \leq 3,0\%$; $Mo \leq 1,0\%$; $Cu \leq 3,0\%$; $Al \leq 0,75\%$; $Ti \leq 0,35\%$; $W \leq 2,0\%$, установлено, что для данного диапазона легирования изменение механических свойств металла шва пропорционально концентрации легирующих элементов и что при комплексном их легировании действие всех элементов подчиняется закону аддитивности.

Влияние тока и скорости сварки на форму поверхности угловых швов

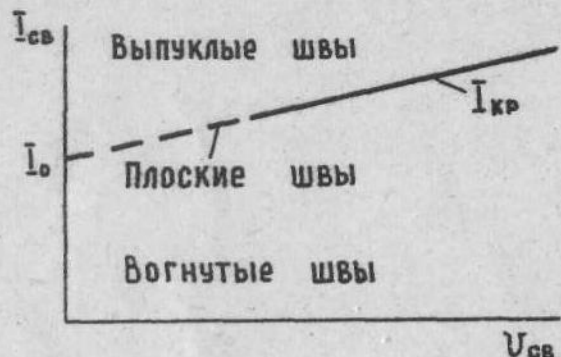


Рис. 2.5

Изменение относительных характеристик механических свойств металла шва в зависимости от скорости его охлаждения

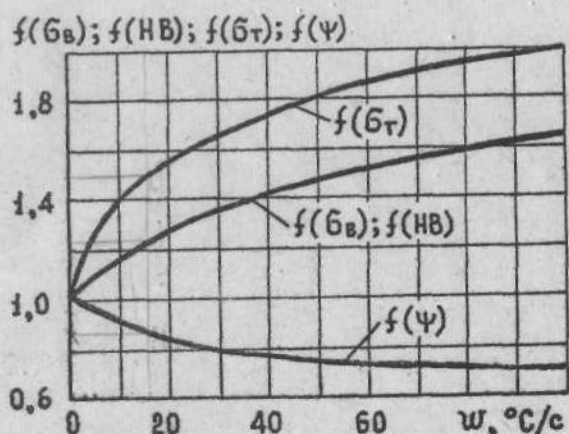


Рис. 6.1

Непосредственное определение механических характеристик металла шва установило коэффициенты влияния каждого элемента и позволило составить эмпирические уравнения для расчета оговариваемых механических характеристик металла сварных низколегированных швов в следующем виде:

для предела прочности шва, кгс/мм²

$$\sigma_{w\text{ш}} = 4,8 + 50C + 25,2Mn + 17,5Si + 23,9Cr + 7,7Ni + \\ + 8,0W + 70Ti + 17,6Cu + 29Al + 16,8Mo, \quad (6.2)$$

для относительного удлинения шва, %

$$\delta_w = 50,4 - (21,8C + 15Mn + 49Si + 2,4Ni + 5,8Cr + \\ + 6,2Cu + 2,2W + 6,6Ti) + 17,1Al + 2,7Mo, \quad (6.3)$$

для ударной вязкости шва при T = 20 °C, кГс.м/см²

$$\alpha_{w\text{ш}} = 23,3 - (25,7C + 6,4Mn + 8,4Si + 2,4Cr + 1,6Ni + \\ + 4Cu + 0,5W + 1,4Mo + 15,4Ti) + 18Al, \quad (6.4)$$

для предела текучести шва, кГс/мм²

$$\sigma_{t\text{ш}} = 0,73 \sigma_{w\text{ш}}, \quad (6.5)$$

для относительного поперечного сужения, %

$$\psi_w = 2,32 \delta_w. \quad (6.6)$$

В этих формулах значение каждого компонента принято в процентах.

Формулы (6.2 – 6.6) справедливы при условии, что концентрация отдельных элементов лежит в указанных выше пределах, суммарное содержание всех легирующих элементов не превышает 5 % и скорость охлаждения металла шва не превышает 2 °C/c (т.е. отсутствует эффект закалки).

При больших скоростях охлаждения необходимо учитывать эффект закалки, используя данные рис. 6.2, из которых эффект закалки в

зависимости от скорости охлаждения приведен для двух эквивалентных содержаний углерода $C_3 = 0,26$ и $C_3 = 0,57$. Для промежуточных значений C_3 рекомендуется пользоваться интерполяцией. С целью определения коэффициентов (рис. 6.2) рассчитывают скорость охлаждения на принятом режиме.

Эквивалентное содержание углерода в шве подсчитывают по формуле:

$$C_3 = C + \frac{Mn}{6} + \frac{Cr}{5} + \frac{V}{5} + \frac{Mo}{4} + \frac{Ni}{15} + \frac{Cu}{15} + \frac{P}{2}, \quad (6.7)$$

где C, Mn, Cr, V, Mo и т.д. - содержание в процентах легирующих элементов в металле шва. Медь и фосфор учитывают только в том случае, если концентрация меди больше 0,5 %, а фосфора больше 0,05 %.

Содержание рассматриваемого элемента в металле шва определяется на основании правила смешения по формуле:

$$|x|_w = \gamma_o |x|_{om} + (1-\gamma_o) |x|_e \pm \Delta x, \quad (6.8)$$

где $|x|_w$, $|x|_{om}$, $|x|_e$ - концентрация рассматриваемого элемента в металле шва, основном и электродном металле;

Δx - обобщенное изменение данного элемента в составе основного и электродного металлов вследствие взаимодействия расплавленного металла с окружающей средой;

γ_o - доля участия основного металла в формировании шва, определяется по формуле:

$$\gamma_o = \frac{F_{np}}{F_{np} + F_n}, \quad (6.9)$$

где F_n - площадь из плавленного металла, определяется по формулам (I.3 - I.6), (2.25)

F_{np} - площадь провара, определяется по формуле

$$F_{np} = \eta_{np} \frac{I_{ca} \cdot U_{ca}}{U_{ce}} \cdot 0,95 \cdot 10^{-4}, \quad (6.10)$$

Коэффициенты, учитывающие влияние скорости охлаждения металла шва на его механические свойства

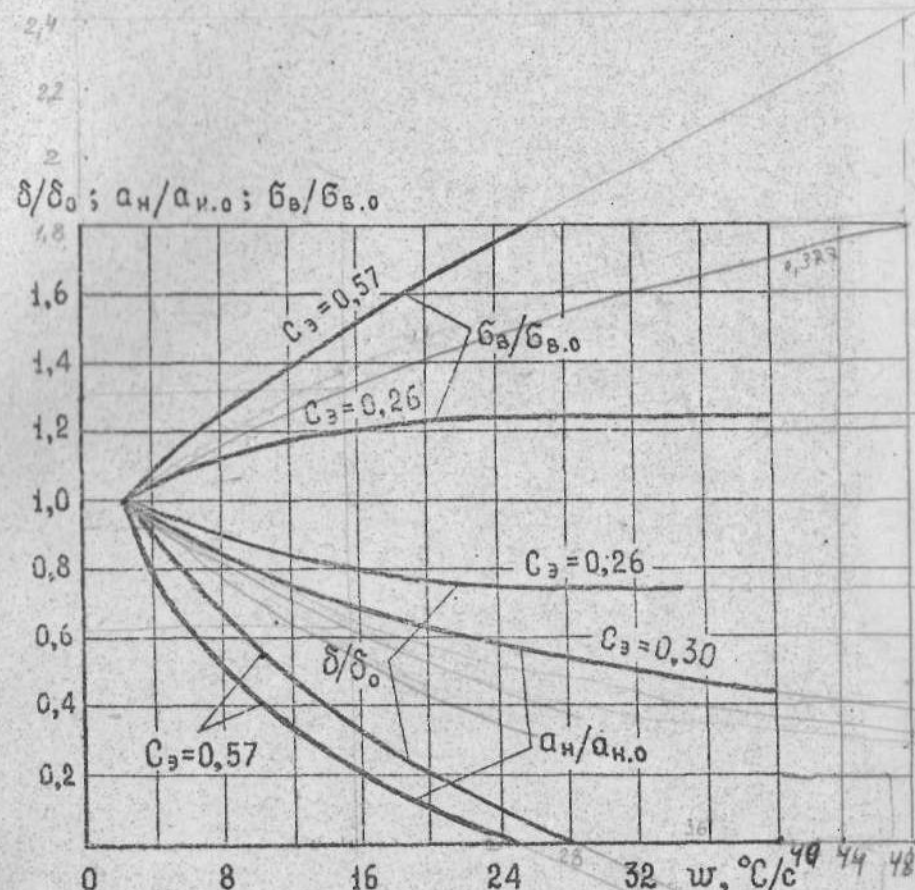
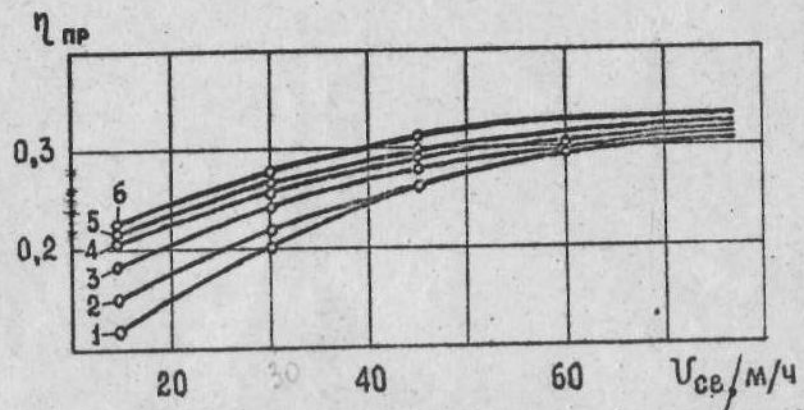


Рис. 6.2

Зависимость полного теплового к.п.д. от скорости сварки и плотности тока в электроде (механизированная сварка под флюсом)



1 - 25 A/mm²; 2 - 30 A/mm²; 3 - 40 A/mm²;
4 - 60 A/mm²; 5 - 160 A/mm²; 6 - 250 A/mm²

Рис.6.3

где $\eta_{\text{пр}}$ - полный тепловой к.п.д., определяется в зависимости от скорости сварки и плотности тока в электроде (рис. 6.3).